

اثرات محیط سیال روی ارتعاشات رزوناتور میکروپولار

مینا قنبری^۱، سیامک حسین پور^{۲*}، قادر رضازاده

۱- دانشجوی دکترا، مهندسی مکانیک، دانشگاه صنعتی سهند، تبریز

۲- دانشیار، مهندسی مکانیک، دانشگاه صنعتی سهند، تبریز

۳- استاد، مهندسی مکانیک، دانشگاه ارومیه، ارومیه

*تبیریز، صندوق پستی ۵۱۳۳۵۱۹۹۶ hossainpour@sut.ac.ir

چکیده

در این مقاله به بررسی میرایی فیلم فشرده سیال در میکرو رزوناتور با بکارگیری تئوری میکروپولار پرداخته شده است. مدل پیشنهادی، شامل یک میکروپولار دوسر گیر دارد که توسط صفحاتی در بالا و پایین تیر احاطه شده است، در میکرو فاصله بین میکروپولار و صفحات ثابت هوا قرار دارد. معادله استخراج شده حاکم بر ارتعاش عرضی میکروپولار با استفاده از تئوری گرادیان کرش و همین طور معادله غیرخطی رینولز استخراج شده حاکم بر میدان فشار سیال با استفاده از تئوری میکروپولار، خطی سازی شده و بعد از بی بعد سازی با بکارگیری روش عددی گلرکین جداسازی و بصورت عددی حل شده‌اند. هدف از حل معادلات بست آوردن فرکانس های میرایی و در نهایت فاکتور کیفیت سیستم است. سپس اثرات پارامترهای میکروپولار روی مقادیر فاکتور کیفیت مورد مطالعه قرار گرفته و درآمدۀ روی اختلاف مقادیر بدست آمده برای فاکتور کیفیت با بکارگیری تئوری کلاسیک و تئوری های میکروپولار برای سیال و گرادیان کرش برای میکروپولار مطالعه و بررسی لازم انجام می‌گیرد. نشان داده می‌شود که بکارگیری تئوری میکروپولار چهت مدل کردن میدان سیال مقادیر فاکتور کیفیت را کمتر از حالت کلاسیک پیش بینی می‌کند و همین طور بکارگیری تئوری گرادیان کرش چهت مدل کردن میکروپولار مقادیر فاکتور کیفیت را بیشتر از حالت کلاسیک پیش بینی می‌کند. در نهایت تأثیر پارامترهایی چون عدد فشردگی، فشار محیط و همین طور پارامترهای هندسی میکروپولار روی اختلاف مقادیر فاکتور کیفیت مورد بررسی قرار می‌گیرد.

اطلاعات مقاله

مقاله پژوهشی کامل

دربافت: ۳۱ فروردین ۱۳۹۳

پذیرش: ۲۸ اردیبهشت ۱۳۹۳

ارائه در سایت: ۰۶ مهر ۱۳۹۳

کلید واژگان:

سیستم های الکترومکانیکی در ابعاد میکرو

تئوری میکروپولار

میرایی فیلم فشرده سیال

Effect of fluid media on vibration of a microbeam resonator using micropolar theory

Mina Ghanbari¹, Siamak Hossainpour^{2*}, Ghader Rezazadeh³

1- Department of Mechanic Engineering, Sahand University of Technology, Tabriz, Iran

2- Department of Mechanical Engineering, Sahand University of Technology, Tabriz, Iran

3- Department of Mechanical Engineering, Urmia University, Urmia, Iran

*P.O.B. 513351996, Tabriz, Iran, hossainpour@sut.ac.ir

ARTICLE INFORMATION

Original Research Paper

Received 20 April 2014

Accepted 18 May 2014

Available Online 28 September 2014

Keywords:

MEMS

Micro-polar theory

Squeeze film damping

ABSTRACT

In this paper, squeeze film damping in a micro-beam resonator based on micro-polar fluid theory has been investigated. The proposed model for this study consists of a clamped-clamped micro-beam suspended between two fixed strata. The gap between the micro-beam and strata is filled with air. Equation of motion governing the transverse deflection of the micro-beam based on strain gradient theory and also non-linear Reynolds equation of the fluid field based on micro-polar theory have been non-dimensionalized, linearized and solved simultaneously to calculate the quality factor of the squeeze film damping. The effect of non-dimensional length scale parameter of the air and micro-beam for different values of micro-polar coupling parameter has been investigated. It has been shown that applying micro-polar theory underestimates and also applying strain gradient theory overestimates the values of quality factor that are obtained in the case of classic theory. The quality factor of the squeeze film damping for different values of non-dimensional length of the beam, squeeze number and non-dimensional pressure have been calculated and compared to the obtained values of quality factor based on classic theory.

۱- مقدمه

سیستم های الکترومکانیکی در ابعاد میکرو^۱ و در ابعاد نانو^۲ رشد چشمگیری در دهه های اخیر به ویژه در ۵۰ سال اخیر داشته‌اند. در ابتدای سال ۱۹۹۰ میلادی، این سیستم ها با رشد پروسه های ساخت مدارهای مجتمع با

به عرصه ظهور گذاشتند که در آن تمامی سنسورها و عملگرهای از ماده سیلیکون ساخته می‌شدند.

از آن زمان به بعد سرمایه گذاری های کلانی در زمینه سیستم های الکترومکانیکی در ابعاد میکرو و نانو صورت گرفت به طوری که طبق اظهارات ستاد فناوری نانو، در سال ۲۰۱۵ میلادی سهم این سیستم ها در تجارت جهانی بالغ بر ۱ تریلیون دلار خواهد شد که به پیشرفت های تحقیقاتی قابل

1- MEMS
2- NEMS

نمود [12]. پندی و پرتاب در سال 2007 خصوصیات میرایی را برای سه مود ارتعاشی اول یک رزوناتور بدست آوردند [13]. آنها معادله خطی سازی شده تراکم پذیر رینولدز کوپل شده با معادله ارتعاشی تیر را با استفاده از توابع گرین بدون در نظر گرفتن خیز استاتیکی ناشی از بار DC حل نمودند. میرایی میکروپیم با تحریک الکتریکی با در نظر گرفتن خیز استاتیکی توسط لبی² در سال 2007 مورد مطالعه قرار گرفت ولی وابستگی لزجت موثر سیال به فاصله اولیه بین میکروپیر و زیر لایه در نظر گرفته نشده بود. نایفه و یونس در سال 2007 ارتعاش میکروصفحه تحت ولتاژ DC بالا و بدون صرف نظر از خیز استاتیکی را به ازای فشارهای گاز مختلف مورد مطالعه قرار دادند و توزیع فشار را با بکارگیری روش انتشارش بدست آوردند [14]. چاترجی و پوهیت در سال 2010 میرایی فیلم فشرده در میکرورزوناتورهای با تحریک الکترواستاتیکی با اعمال ولتاژ های DC بالا و AC خیلی پایین را در سه مود ارتعاشی اول تیر به ازای فشارهای محیط مختلف مورد مطالعه قرار دادند [15]. آنها مدل تئوریک یک میکروپیر با تحریک الکترواستاتیکی را توسعه دادند که در آن وابستگی لزجت موثر سیال به فاصله اولیه بین میکروپیر و زیر لایه از طریق عدد نادسن ارتباط داده می شد. در اکثر کارهای اشاره شده فوق میدان سیال با تئوری کلاسیک مدل سازی شده که برای سیال در ابعاد میکرو مناسب نیست.

با توجه به رشد چشمگیر سیستم های در ابعاد میکرو و در ارتباط بودن اکثر این سیستم ها با تعامل بین محیط جامد و جریان سیال و با توجه به اینکه در اکثر طرح ها میدان سیال با استفاده از تئوری کلاسیک مدل سازی شده، در این مقاله به بررسی میرایی فیلم فشرده سیال در میکرورزوناتور با بکارگیری تئوری میکروپولار پرداخته می شود. مدل پیشنهادی شامل یک تیر دو سر گیردار است که بین لایه های ثابت در بالا و پایین احاطه شده است. در میکرو فاصله بین تیر و لایه ها، فیلم نازک فشرده ای از سیال که گاز است قرار می گیرد. معادله حاکم بر ارتعاش عرضی آزاد تیر با بکارگیری تئوری گرادیان کنش و معادله غیرخطی رینولدز حاکم بر میدان فشار سیال با بکارگیری تئوری میکروپولار استخراج شده و پس از خطی سازی، این دستگاه معادلات دیفرانسیل پاره ای، توسط روش عددی گلرکین جداسازی و در نهایت حل می شوند. پس از حل معادلات و بدست آوردن فرکانس های میرایی، در نهایت فاکتور کیفیت³ محاسبه می شود. در ادامه در مورد اختلاف مقادیر بدست آمده برای فاکتور کیفیت با استفاده از تئوری میکروپولار و حالت کلاسیک مطالعه و بررسی لازم انجام می گیرد.

2- تئوری میکروپولار

این تئوری اولین بار توسط برادران کسرات⁴ به عنوان تئوری کسرات مطرح شد که در آن علاوه بر تنفس ها، اثرات کوپل تنفس ها نیز بر یک المان مادی در نظر گرفته می شد. با مطرح شدن اثربار دینامیکی در این تئوری توسط ارینگن، این تئوری با عنوان تئوری میکروپولار شناخته شد. در این تئوری میدان برداری سرعت V و میدان برداری چرخش ϕ دو کمیت سینماتیکی مستقل از هم بوده و تنفس تنفس یک تانسور نامتقارن است.

2-1- معادلات متخلک

معادلات متخلکه حاکم بر میدان سیال در این تئوری به صورت روابط (1) و (2) می باشند [16,17]:

$$t_{KL} = (-P + \lambda D_{RR})\delta_{KL} + (2\mu + k)D_{KL} + k\varepsilon_{KLM}(R_M - \phi_M) \quad (1)$$

2- Lee
3- Quality factor
4- Cosserat

مالحظه ای در این زمینه خواهد انجامید. به طور کلی می توان گفت سایز کوچک، وزن کم، دوام زیاد و هزینه پایین این سیستم ها سبب شده که در زمینه های مختلف از جمله صنایع هوا فضا، بیومکانیک، پتروشیمی و پزشکی و ... مورد استفاده قرار گرفته و در نتیجه مورد توجه بسیاری از محققان و پژوهشگران قرار گیرند. از جمله این سیستم ها می توان به میکرو پمپ ها، میکرونسورهای، شتاب سنج ها و میکرورزوناتورها اشاره کرد که اکثر آنها با تعامل سیال با محیط جامد سروکار دارند. نتایج آزمایشگاهی نشان می دهند که مدل های کلاسیک محیط پیوسته مدل های خوبی برای پیش بینی رفتار سیال در ابعاد کوچک نیست. در صورتی که ابعاد مشخصه هندسی جریان به اندازه کافی کوچک باشد اطلاعات هیدرودینامیکی ثبت شده از جریان سیال از جمله دبی حجمی، سرعت متوسط، افت فشار و... از مقادیری که توسط معادلات نویر استوکس برای این مشخصه های جریان پیش بینی می شود اختلاف زیادی نشان می دهد [12]. نتایج آزمایشگاهی نشان می دهند که تئوری سیال میکروپولار⁵ ارائه شده توسط ارینگن در سال 1966 که در آن چرخش مولکول های سیال نیز در نظر گرفته شده تئوری خوبی برای مدل کردن جریان سیالات در ابعاد میکرو بوده و پیش بینی های هیدرودینامیکی جریان سیال سازگاری بسیار خوبی با نتایج آزمایشگاهی نشان می دهند [3,4]. تحقیقات مختلفی در زمینه بررسی اثرات سیال در میکروساخترها از جمله مبحث میرایی فیلم فشرده سیال که در طراحی بسیاری از طرح های در ابعاد میکرو از جمله میکرورزوناتورها از اهمیت بالایی برخوردار است انجام شده است [5,6]. نیوول در سال 1966 اثرات میرایی را در رزوناتورهای شامل میکروپیرهای یک سر گیردار مورد مطالعه قرار داد [7].

او بازه فشار از خلاً تا فشار اتمسفریک را به سه ناحیه تقسیم کرد. در ناحیه اول یعنی فشارهای خیلی پایین میرایی غالب میرایی ذاتی سیستم است. در ناحیه دوم که فشار بیشتر از ناحیه اول است میرایی غالب میرایی هوا خواهد بود که ناشی از انتقال مومنتوم حین برخورد مولکول های هوا با ساختار در حال حرکت است. در این ناحیه ایشان اثرات جسم صلب در حال حرکت را روی تغییرات مومنتوم خطی مولکولهای گاز مورد مطالعه قرار داد. ایشان نشان دادند که در ناحیه سوم که فشار نزدیک به فشار اتمسفر است میرایی غالب، میرایی لزج بوده و مستقل از فشار است. بلج در سال 1983 میرایی غالب رینولدز خطی سازی شده تراکم پذیر را جهت آتالیز مسائل میرایی فیلم فشرده بکار برد [8]. او با حل تئوری معادله خطی سازی شده رینولدز در دو حالت صفحه صلب مرتعش مستطیلی شکل و دایره ای عبارتی برای نیوولهای میرایی و فریت بدست آورد. زوک در سال 1992 به نتایج آزمایشگاهی در مورد اندازه فاکتور کیفیت در مورد میکروپیم های دو سر گیر دار در فشارهای پایین دست یافت که این نتایج با نتایج بدست آمده از مدل نیوول هم خوانی خوبی نشان می داد [9]. با این در سال 2002 مدل انتقال انرژی را جهت مطالعه اثرات ساختار در حال حرکت روی تغییر انرژی جنبشی مولکولهای گاز بکار برد [10]. ایشان معادله های برای فاکتور کیفیت مشابه آنچه نیوول در سال 1966 ارائه کرده بود بدست آورد که با پهنه ای فاصله نسبت مستقیم و با طول صفحه نسبت عکس داشت. ایشان نتایج تئوری خود را با نتایج آزمایشگاهی زوک مقایسه نمود و هم خوانی خوبی در نتایج مشاهده کرد. مک کارتی در سال 2002 با مدل کردن یک سوییج به صورت تیر یک سر گیردار توزیع فشار را در داخل فاصله بین میکروپیر و زیر لایه از طریق روش انتگرالی بدست آورد [11]. زنگ در سال 2004 بدون در نظر گرفتن خیز استاتیکی ناشی از اعمال ولتاژ DC رزوناتور را به صورت یک تیر دوسر گیردار در حال ارتعاش در مود ارتعاشی اول مدل کرد. او توزیع فشار را در میکروفاصله بین تیر و زیر لایه به صورت سری های مثلثاتی فرض

1- Micropolar

$$\begin{aligned} P_6' &= -8GI_0^2v + GI_0^2v^2 + 2GI_0^2 + GI_0^2 + 2GI_0^2v + \frac{16}{15}GI_0^2v \\ &\quad + \frac{8}{15}GI_0^2v^2 + \frac{8}{15}GI_0^2 + 8GI_0^2v^2 \end{aligned} \quad (6)$$

$$P_7 = 2GI_0^2 - 8GI_0^2v + \frac{4}{5}GI_0^2 + \frac{4}{5}GI_0^2v^2 + \frac{8}{5}GI_0^2v + 8GI_0^2v^2 \quad (7)$$

در روابط (6) و (7)، I_0 ، I_1 و I_2 پارامترهای طول مشخصه تیر، G مدول برشی و v ضریب پواسون تیر می‌باشد.

شرط مجزی معادله (5) طبق روابط (8) تا (10) عبارتند از [19]:

$$w(0,t) = w(L_b,t) = 0 \quad (8)$$

$$\frac{\partial w(0,t)}{\partial x} = \frac{\partial w(L_b,t)}{\partial x} = 0 \quad (9)$$

$$\frac{\partial^2 w(0,t)}{\partial x^2} = \frac{\partial^2 w(L_b,t)}{\partial x^2} = 0 \quad (10)$$

معادله غیر خطی رینولدز حاکم بر میدان فشار سیال با بکارگیری نئوی میکروپولار بصورت رابطه (11) می‌باشد [21]:

$$\begin{aligned} \frac{\partial}{\partial x} &\left\{ \left[(h_t^3 + 12I^2h_t - 6NIh_t^2 \coth\left(\frac{Nh_t}{2I}\right)) \right] p \frac{\partial p}{\partial x} \right\} \\ &+ \frac{\partial}{\partial y} \left\{ \left[\left(h_t^3 + 12I^2h_t - 6NIh_t^2 \coth\left(\frac{Nh_t}{2I}\right) \right) \right] p \frac{\partial p}{\partial y} \right\} \\ &= 12\eta_{eff} \left(p \frac{\partial h_t}{\partial t} + h_t \frac{\partial p}{\partial t} \right) \end{aligned} \quad (11)$$

در رابطه بالا h_t فاصله متغیر بین میکروتیر و صفحات ثابت موادی و η_{eff} ویسکوزیته موثر سیال بوده و تابعی از عدد نادسن می‌باشدند. در این مقاله از رابطه ارائه شده توسط ویژولا جهت محاسبه ویسکوزیته موثر استفاده شده است. $0 \leq N \leq 1$ ، پارامتر کوپلینگ و I ، پارامتر طول مشخصه سیال پارامترهای میکروپولار نامیده می‌شوند. در حالت حدی وقتی $0 \rightarrow I$ معادله (11) به معادله رینولدز سیال نیوتونی تبدیل می‌شود. شرایط مجزی معادله (11) طبق روابط (12) و (13) عبارتند از [22]:

$$p(x,0,t) = p(x,b,t) = p_a \quad (12)$$

$$\frac{\partial p}{\partial x}(0,y,t) = \frac{\partial p}{\partial x}(L_b,y,t) = 0 \quad (13)$$

با بکارگیری پارامترهای بی بعد زیر طبق روابط (14) و (15) به:

$$X = \frac{x}{L_b}, \quad Y = \frac{y}{b}, \quad W = \frac{W}{g_0}, \quad Z = \frac{Z}{g_0}, \quad T = \frac{t}{S}, \quad P = \frac{P}{p_a} \quad (14)$$

$$L = \frac{I}{g_0}, \quad H = \frac{h}{g_0} = 1 - W \quad (15)$$

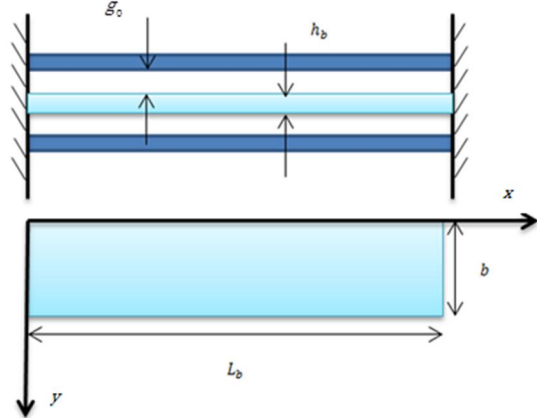
که در آن g_0 ، فاصله اولیه بین میکروتیر و صفحات ثابت می‌باشد معادلات (5) و (11) به فرم زیر در می‌آیند. طبق روابط (16) و (17) داریم:

$$\frac{\partial^4 W}{\partial X^4} - B' \frac{\partial^6 W}{\partial X^6} + \frac{\partial^2 W}{\partial T^2} = -2P_{non} \int_0^1 (P-1) dY \quad (16)$$

$$\begin{aligned} \frac{\partial}{\partial X} &\left\{ \left[\left(H^3 + 12L^2H - 6NLH^2 \coth\left(\frac{NH}{2L}\right) \right) \right] P \frac{\partial P}{\partial X} \right\} \\ &+ \beta^2 \frac{\partial}{\partial Y} \left\{ \left[\left(H^3 + 12L^2H - 6NLH^2 \coth\left(\frac{NH}{2L}\right) \right) \right] P \frac{\partial P}{\partial Y} \right\} \\ &= \sigma \left(P \frac{\partial H}{\partial T} + H \frac{\partial P}{\partial T} \right) \end{aligned} \quad (17)$$

که در آن

$$\beta = \frac{L_b}{b}, \quad B' = \frac{P_7 I}{(EI + bh_b P_6) L_b^2}, \quad P_{non} = \frac{bp_a L_b^4}{EI g_0}, \quad \sigma = \frac{12\mu l^2}{sg_0^2 p_a}$$



شکل ۱ مدل پیشنهادی میکروزوناتور جهت بررسی میرایی فیلم فشرده سیال

$$m_{KL} = \alpha \delta_{KL} \frac{\partial \phi_M}{\partial X_M} + \beta \frac{\partial \phi_K}{\partial X_L} + \gamma \frac{\partial \phi_L}{\partial X_K} \quad (2)$$

در روابط فوق μ لزجت دینامیکی، K لزجت گردابی، P فشار مودینامیکی، α ، β ضرایب لزجت گردابیان چرخش سیال و $D_{KL} = \frac{1}{2}(V_{K,L} + V_{L,K})$ تانسور تغییرشکل میدان سیال می‌باشد.

2- معادلات بقا

معادلات بقا میدان سیال در این نئوی به صورت روابط (3) و (4) می‌باشند [1]:

$$\frac{\partial t_{IK}}{\partial X_I} + \rho (\vec{f}_k - \vec{a}_k) = 0 \quad (3)$$

$$\frac{\partial m_{IK}}{\partial X_I} + \rho (\vec{t}_k - I \vec{\phi}_k) - \epsilon_{IJK} t_{IK} = 0 \quad (4)$$

رابطه (3)، معادله بقای مومنتوم خطی و رابطه (4)، معادله بقای مومنتوم زاویه ای در نئوی میکروپولار است. \vec{f} نیروی حجمی و \vec{a} شتاب خطی و $\vec{\phi}$ شتاب زاویه ای المان هستند. I میکرواینرسی نامیده شده و تابعی از مرعی پارامتر طول مشخصه سیال است. توصیف مدل پیشنهادی و معادلات حاکم بر آن

مدل پیشنهادی همانگونه که در شکل ۱ نشان داده شده است شامل یک تیر دو سرگیردار بوده که صفحات ثابتی در بالا و پایین آن قرار گرفته است. در فاصله بین میکروتیر و صفحات ثابت هوا گرفته است. در این مدل نسبت پهنهای تیر به فاصله هوایی بزرگ فرض شده است و همین طور خیز تیر کوچک در نظر گرفته شده است. معادله حاکم بر ارتعاش عرضی میکرو تیر در حضور نیروی ناشی از میدان فشار سیال با بکارگیری نئوی گردابی کرنش به صورت رابطه (5) است [20-18].

$$\begin{aligned} &((EI + bh_b P_6) \frac{\partial^4 w(x,t)}{\partial X^4} - P_7 I \frac{\partial^6 w(x,t)}{\partial X^6} + \rho b h_b \frac{\partial^2 w(x,t)}{\partial t^2} \\ &- 2 \int_0^b (p(x,y,t) - p_a) dy) \end{aligned} \quad (5)$$

در رابطه بالا، X ، Y ، Z مختصات در امتداد طول و پهنهای تیر، EI ، W خیز تیر، b ، L_b ، h_b به ترتیب طول، پهنهای و ضخامت تیر و چگالی تیر می‌باشند. $(p(x,y,t) - p_a)$ فشار مطلق هوا در فاصله بین میکروتیر و صفحات ثابت در جهت‌های X ، Y و زمان t و زمان t و p_a فشار محیط می‌باشد. ضرایب P_6 و P_7 در نئوی گردابیان کرنش به صورت روابط (6) و (7) تعريف شوند [19]:

$$-\sigma \sum_{i=1}^n \sum_{j=1}^m u_{ij}(T) \varphi_i(X) \phi_j(Y) = 0 \quad (30)$$

با بکارگیری روش کاهش مرتبه گلرکین معادلات به فرم زیر بدست می‌آیند.
طبق روابط (31) و (32) داریم:

$$\sum_{k=1}^r M_{rk} \ddot{q}_k + \sum_{k=1}^r K_{rk} q_k + 2D_1 \sum_{i=1}^n \sum_{j=1}^m E_{ri}^{(1)} E_j^{(2)} u_{ij} = 0 \quad (31)$$

$$f = 1, \dots, r$$

$$D_2 \sum_{i=1}^n \sum_{j=1}^m G_{qi}^{(1)} G_{gj}^{(2)} u_{ij} + \beta^2 D_2 \sum_{i=1}^n \sum_{j=1}^m G_{qi}^{(3)} G_{gj}^{(4)} u_{ij} - D_3 \sum_{i=1}^n \sum_{j=1}^m C_{qj}^{(1)} C_{gj}^{(2)} \dot{u}_{ij} + D_3 \sum_{k=1}^r C_{qk}^{(3)} C_g^{(4)} \dot{q}_k = 0 \quad (32)$$

$$q = 1, \dots, n, \quad g = 1, \dots, m$$

با ضرایب زیر طبق روابط (33):

$$M_{rk} = \int_0^1 \psi_f(X) \psi_k(X) dX, \quad K_{rk} = \int_0^1 \psi_f(X) \psi_k^{IV}(X) dX$$

$$-\beta' \int_0^1 \psi_f(X) \psi_k^{VI}(X) dX, \quad E_{ri}^{(1)} = \int_0^1 \psi_r(X) \varphi_i(X) dX$$

$$E_j^{(2)} = \int_0^1 \phi_j(Y) dY, \quad G_{qi}^{(1)} = \int_0^1 \varphi_q(X) \varphi_i(X) dX$$

$$G_{gj}^{(2)} = \int_0^1 \phi_g(Y) \phi_j(Y) dY, \quad G_{qi}^{(3)} = \int_0^1 \varphi_q(X) \varphi_i(X) dX$$

$$G_{gj}^{(4)} = \int_0^1 \phi_g(Y) \phi_j^{''}(Y) dY, \quad C_{qj}^{(1)} = \int_0^1 \varphi_q(X) \varphi_j(X) dX$$

$$C_{gj}^{(2)} = \int_0^1 \phi_g(Y) \phi_j(Y) dY, \quad C_{qk}^{(3)} = \int_0^1 \varphi_q(X) \psi_k(X) dX$$

$$C_g^{(4)} = \int_0^1 \phi_g(Y) dY, \quad D_1 = p_{\text{non}}$$

$$D_2 = \left(1 + 12L^2 - 6NL \coth\left(\frac{N}{2L}\right) \right), \quad D_3 = \sigma \quad (33)$$

با بکارگیری توابع شکل (21-22) که شرایط مرزی $\phi_j(Y) = \sin(j\pi Y)$ را ارضاء کنند و با انتگرال‌گیری همزمان از معادلات (29) و (30)، فرکانس‌های میرای سیستم به صورت اعداد موهومی بدست آمده و در نهایت مقادیر فاکتور کیفیت به صورت رابطه (34) محاسبه می‌شوند:

$$\frac{1}{2} \left| \frac{\operatorname{Re}(\omega)}{\operatorname{Im}(\omega)} \right| = \text{فاکتور کیفیت} \quad (34)$$

4- نتایج عددی

خصوصیات مواد و همین طور هندسه میکروتیر مورد مطالعه در این مقاله در جدول 1 آورده شده است. نتایج عددی بدست آمده برای میکروتیر با پارامترهای هندسی ذکر شده در جدول 1 همگرایی خوبی را به ازای $r=5$ نشان می‌دهد. جهت اعتبارسنجی کار با توجه به نبود نتایج عددی برای تیر دوسر گیردار، مقادیر ضریب دمپینگ بدست آمده در این مقاله با در نظر گرفتن پارامترهای طراحی بکار گرفته شده توسط پرندي و پرتاب برای میکروتیر دوسر آزاد با مقادیر بدست آمده توسط پرندي و پرتاب و چاترجی و پوهیت مقایسه شده و در جدول 2 آورده شده است. جهت بررسی اثرات رزوناتور روسی میکروپولار روی فرکانس‌های طبیعی میرای سیستم، مقادیر فاکتور کیفیت رزوناتور به ازای مقادیر مختلف طول مشخصه بی بعد (L) و همین طور مقادیر پارامتر

که عدد فشردگی نامیده شده و معیاری از میزان تراکم پذیری سیال می‌باشد. شرایط مرزی بی بعد شده معادلات (16) و (17) طبق روابط (18) تا (22) عبارت اند از:

$$w(0, t) = w(1, t) = 0 \quad (18)$$

$$\frac{\partial w(0, t)}{\partial x} = \frac{\partial w(1, t)}{\partial x} = 0 \quad (19)$$

$$\frac{\partial^2 w(0, t)}{\partial x^2} = \frac{\partial^2 w(1, t)}{\partial x^2} = 0 \quad (20)$$

$$p(x, 0, t) = p(x, b, t) = 1 \quad (21)$$

$$\frac{\partial p}{\partial x}(0, y, t) = \frac{\partial p}{\partial x}(L_b, y, t) = 0 \quad (22)$$

با توجه به اینکه ارتعاشات تیر کوچک فرض شده است بنابراین تغییرات فشار از فشار محیط در هر نقطه از دامنه سیال را می‌توان کوچک فرض نمود و میدان فشار را به صورت رابطه (23) نوشت:

$$P(X, Y, T) = \frac{p}{p_a} = 1 + P_d \quad (23)$$

با جایگذاری رابطه (23) در معادله (17) و خطی سازی حول p_a ، معادله (17) به فرم رابطه (24) در می‌آید:

$$\begin{aligned} & \left[\left(12L^2 - 6NL \coth\left(\frac{N}{2L}\right) \right) \frac{\partial^2 P_d}{\partial X^2} \right] \\ & + \beta^2 \left\{ \left[\left(12L^2 - 6NL \coth\left(\frac{N}{2L}\right) \right) \frac{\partial^2 P_d}{\partial Y^2} \right] \right. \\ & \left. = \sigma \left\{ \frac{\partial P_d}{\partial T} - \frac{\partial W}{\partial T} \right\} \right\} \end{aligned} \quad (24)$$

با شرایط مرزی طبق روابط (25) و (26):

$$P_d(X, 0, T) = P_d(X, 1, T) = 0 \quad (25)$$

$$P_d(X, 0, T) = P_d(X, 1, T) = 0 \quad (26)$$

3- حل عددی

برای حل عددی معادلات (15) و (16) به روش گلرکین جواب‌های تقریبی برای $P_d(X, Y, T)$ و $W(X, Y, T)$ به فرم روابط (27) و (28) در نظر می‌گیریم:

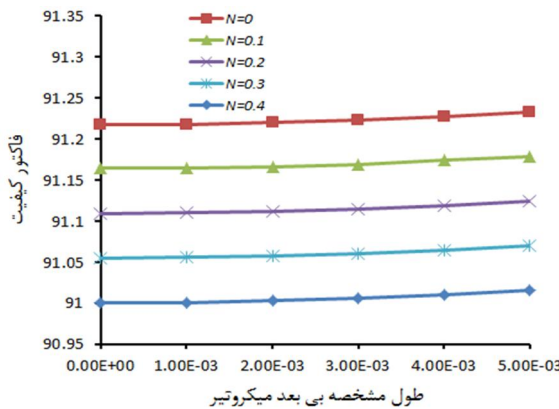
$$W(X, T) \cong \sum_{k=1}^r q_k(T) \psi_k(X) \quad (27)$$

$$P_d(X, Y, T) \cong \sum_{i=1}^n \sum_{j=1}^m u_{ij}(T) \varphi_i(X) \phi_j(Y) \quad (28)$$

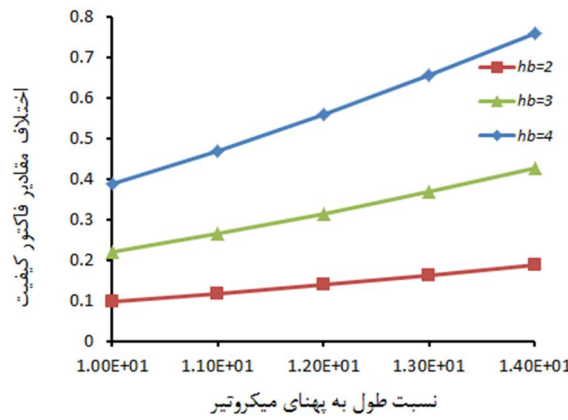
با جایگذاری روابط (27) و (28) در معادلات (16) و (24) به روابط (29) و (30) می‌رسیم:

$$\begin{aligned} \mathcal{R}(W(X, T)) &= \sum_{k=1}^r \ddot{q}_k(T) \psi_k(X) + \sum_{k=1}^r q_k(T) \psi_k^{IV}(X) \\ & - \beta' \sum_{k=1}^r q_k(T) \psi_k^{VI}(X) \\ & + 2P_{\text{non}} \sum_{i=1}^n \sum_{j=1}^m u_{ij}(T) \varphi_i(X) \int_0^1 \phi_j(Y) dY = 0 \end{aligned} \quad (29)$$

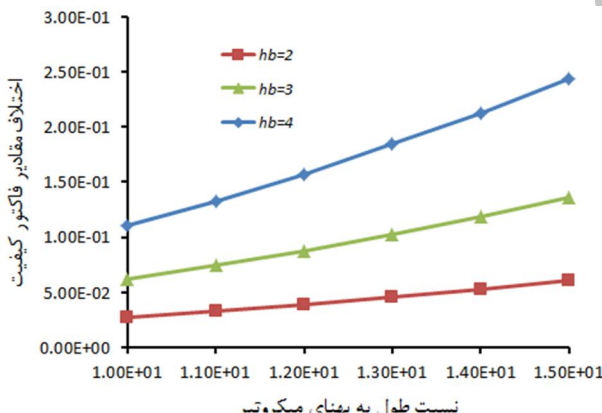
$$\begin{aligned} I(P_d(X, Y, T)) &= \left[\left(1 + 12L^2 - 6NL \coth\left(\frac{N}{2L}\right) \right) \right] \times \\ & \sum_{i=1}^n \sum_{j=1}^m u_{ij}(T) \varphi_i^{''}(X) \phi_j(Y) \\ & + \beta^2 \left[\left(1 + 12L^2 - 6NL \coth\left(\frac{N}{2L}\right) \right) \right] \end{aligned}$$



شکل 3 اثرات طول مشخصه بی بعد میکروتیر روی مقادیر فاکتور کیفیت



شکل 4 اختلاف مقادیر فاکتور کیفیت بر حسب نسبت طول به پهنای میکروتیر با بکارگیری تئوری های کلاسیک و میکرопولار برای میدان سیال



شکل 5 اختلاف مقادیر فاکتور کیفیت بر حسب نسبت طول به پهنای میکروتیر با بکارگیری تئوری های کلاسیک و گرادیان کرنش برای میکروتیر

نتایج نشان می دهند که در تیر با ضخامت مشخص هرچه نسبت طول به پهنای تیر افزایش می باید میزان اختلاف افزایش پیدا می کند. همچنین مشاهده می شود که به ازای نسبت مشخص طول به پهنای تیر، در تیرهای با ضخامت بیشتر این اختلاف بیشتر می باشد.

میزان اختلاف فاکتور کیفیت با بکارگیری تئوری های کلاسیک و گرادیان کرنش برای میکروتیر به ازای نسبت های مختلف طول به پهنای میکروتیر برای تیرهای با ضخامت های مختلف (با ابعاد میکرومتر) بدست آمده و نتایج برای فشار محیط 1000 پاسکال در شکل 5 نشان داده شده است. از روی شکل مشاهده می شود که در تیرهای با نسبت طول به پهنای بیشتر و همین طور با ضخامت بیشتر این اختلاف بیشتر می باشد.

کوپلینگ هوا (N) در فشار محیط 1000Pa، با فرض تیر کلاسیک محاسبه شده و در نمودار 2 نشان داده شده است. با توجه به مقدار آزمایشگاهی بدست آمده برای پارامتر کوپلینگ در مورد سیال آب در [1]، می توان برای این پارامتر در مورد هوا بازه ای بین صفر تا 0/4 در نظر گرفت. نتایج نمودار شکل 2 نشان می دهد مقادیر فاکتور کیفیت با افزایش طول مشخصه بی بعد هوا و پارامتر کوپلینگ کاهش می باید. همین طور نتایج نشان می دهند که با بکارگیری تئوری میکرопولار جهت مدل کردن میدان میکروسیال، مقادیر بدست آمده برای فاکتور کیفیت کمتر از مقادیری است که در حالت مدل کردن کلاسیک میدان سیال بدست می آیند. با فرض $I_1 = I_2 = I_0$ در شکل 2 اثرات طول مشخصه بی بعد میکروتیر مقادیر فاکتور کیفیت افزایش می بایند.

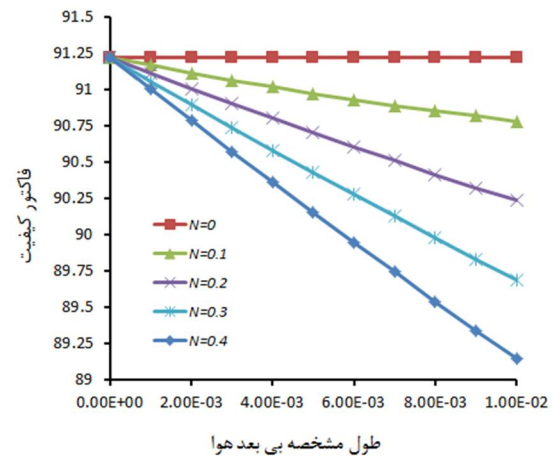
همین طور نتایج نشان می دهند که با بکارگیری تئوری گرادیان کرنش جهت مدل کردن میکروتیر، مقادیر بدست آمده در نمودار شکل 3 نشان داده شده اند. نتایج نشان می دهند که با افزایش طول مشخصه بی بعد میکروتیر مقادیر فاکتور کیفیت افزایش می بایند. اختلاف مقادیر فاکتور کیفیت با بکارگیری تئوری های کلاسیک و میکرопولار برای میدان سیال برای نسبت های مختلف طول به پهنای میکروتیر برای تیرهای با ضخامت های مختلف در ابعاد میکرومتر (h_t) بدست آمده و نتایج برای فشار محیط 1000 پاسکال در شکل 4 نشان داده شده است.

جدول 1 خصوصیات ماده و همین طور هندسه میکروتیر مورد مطالعه در این مقاله

پارامترها	اندازه
2700 (kg.m ⁻³)	چگالی
70(GPa)	مدول یانگ
26(GPa)	مدول برشی
300(μm)	طول تیر
20(μm)	پهنای تیر
2(μm)	ضخامت تیر
1/5(μm)	فاصله اولیه

جدول 2 مقایسه مقادیر بدست آمده برای ضربی میرایی تیر یک سر آزاد با بکارگیری روش های مختلف

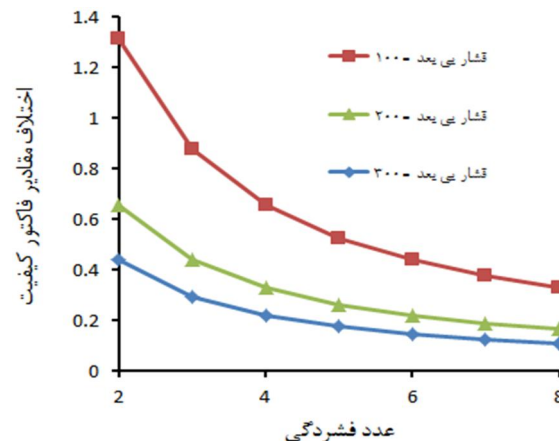
این مقاله (مدل نیمه تحلیلی) [15] (مدل تحلیلی) [13] (زمایشگاهی) [13]	چاترجی و پو هیت پرندي و پرتاب [0/415]	برندی و پرتاب [0/422]	برندی و پرتاب [0/4484]	برندی و پرتاب [0/4122]



شکل 2 اثرات پارامترهای میکرопولار روی مقادیر فاکتور کیفیت

6- مراجع

- [1] A. Kucaba-Pietal, Microchannels flow modeling with the micro-polar fluid theory, *Bulletin of the polish Academy of sciences*, Vol. 53, pp. 209-214, 2004.
- [2] A. Kucaba-Pietal, Applicability of the micropolar fluid theory in solving microfluidics problems, in *Proceeding of The First European Conference on Microfluidics*, Bologna, 2008.
- [3] I. Papautsky, J.Brazzle, T. Ameel, A.B. Frazier, Laminar fluid behavior in microchannels using micropolar fluid theory, *Sensors and Actuators*, A, Vol. 73, No. 2, pp. 101-108, 1999.
- [4] A. C. Eringen, Linear theory of micropolar viscoelasticity, *International Journal of Engineering Science*, Vol. 5, pp. 191-204, 1967.
- [5] S. Afrang, Small size and low loss resonator type DMTL phase shifter, *Microelectronics Journal*, Vol. 44, No. 4, pp. 442-453, 2013.
- [6] R. Shabani, H. Hatami, F. G. Golzar, S. Tariverdilo, G. Rezazadeh, coupled vibration of a cantilever micro-beam submerged in a bounded incompressible domain, *Acta Mechanica*, Vol.224, pp.841-850, 2013.
- [7] W.E. Newell, Miniaturization of tuning forks, *Science*, Vol. 161, pp. 1320-1326, 1968.
- [8] J. J. Blech, On isothermal squeeze films, *Journal of Lubrication Technology* A, Vol. 105, pp. 615-620, 1983.
- [9] J.D. Zook, D.W. Burns, H. Guckel, J. J. Sniegowski, R. L. Engelstad and Z. Feng, Characteristics of polysilicon resonant microbeams, *Sensors and Actuators A*, Vol. 35 , pp. 290-294, 1992.
- [10] M. Bao, H. Yang, H. Yin and Y. Sun, Energy transfer model for squeeze-film air damping in low vacuum, *Journal of Micromechanics and Microengineering*, Vol. 12, pp. 341-346, 2002.
- [11] B. McCarthy, G. Adams, N. McGruer and D. Potter, A dynamic model, including contact bounce of an electrostatically actuated microswitch, *Journal of Microelectromechanical Systems*, Vol. 11, pp. 276-283, 2002.
- [12] C. Zhang, G. Xu and Q. Jiang , Characterization of the squeeze film damping effect on the quality factor of a microbeam resonator, *Journal of Micromechanics and Microengineering*, Vol. 14, pp. 1302-1306, 2004.
- [13] A. K. Pandey and R. Pratap, Effect of flexural modes on squeeze film damping in MEMS cantilever resonators, *Journal of Micromechanics and Microengineering*, Vol. 17, pp. 2475-2484, 2007.
- [14] M. I. Younis and A. H. Nayfeh, Simulation of squeeze-film damping of microplates actuated by large electrostatic load, *ASME Journal of Computational and Nonlinear Dynamics*, Vol. 2, pp. 101-112, 2007.
- [15] S. Chaterjee, G. Pohit, Squeeze-film damping characteristics of cantilever microresonators for higher modes of flexural vibration, *International Journal of Engineering, Science and Technology*, Vol. 2, pp. 187-199, 2010.
- [16] G. Ahmadi, Stability of linear micropolar elastic media, *International Journal of Engineering Science*, Vol. 11,pp. 1111-1117, 1975.
- [17] S. Afrang, Small size and low loss resonator type DMTL phase shifter, *Microelectronics Journal*, Vol. 44, No. 4, pp. 442-453, 2013.
- [18] H. M. Sadeghi, Size- dependent dynamic pull-in Instability of vibrating electrically actuated microbeams based on the strain gradient elasticity theory, *Act Astronautica*, Vol. 95, pp. 111-123, 2014.
- [19] L. L. Ke, Y. Sh. Wang, Size effect on dynamic stability of functionally graded microbeams based on a modified couple stress theory, *Composite Structures*, Vol. 93, pp. 342-350, 2011.
- [20] A. Karami mohammadi, M. Abbasi, Investigation of the size effect on the vibrational behavior of an AFM microcantilever with a sidewall probe, using strain gradient elasticity theory, *Modares Mechanical Engineering*, Vol. 13, No. 13,pp. 90-99, 2014. (In Persian)
- [21] N. B. Naduvinamani and G. B. Marali, Dynamic Reynolds equation for micropolar fluid lubrication of porous slider bearings, *Journal of Marine Science and Technology*, Vol. 16, No. 3, pp. 182-180, 2008.
- [22] P. Li, R. Hu and Y. Fang, A new model for squeeze film damping of electrically actuated microbeams under the effect of a static deflection, *Journal of micromechanics and microengineering*, Vol. 17,pp. 1242-1251, 2007.



شکل 6 اثرات عدد فشرده‌گی و فشار بی بعد روی اختلاف مقادیر فاکتور کیفیت

میزان اختلاف فاکتور کیفیت با بکارگیری تئوری های کلاسیک و میکروپولار برای میدان سیال برای اعداد فشرده‌گی و همین طور فشارهای بی بعد مختلف در شکل 6 آورده شده است. نتایج نشان می دهند که در اعداد فشرده‌گی و همچنین فشارهای بی بعد پایین این اختلاف بیشتر می باشد.

5- نتیجه گیری

در مقاله حاضر، میرایی فیلم فشرده سیال در میکرورزوناتور با استفاده از تئوری میکروپولار جهت مدلسازی میدان سیال و همچنین تئوری گرادیان کرنش جهت مدلسازی میکروپولار مورد مطالعه و بررسی قرار گرفته است. هدف بدست آوردن ضریب میرایی معادلی برای سیستم با بکارگیری تئوری های فوق می باشد. مدل پیشنهادی شامل یک میکروپولار دو سر گیردار است که توسط لایه‌های ثابتی در بالا و پایین آن احاطه شده است. فاصله بین این لایه‌ها و میکروپولار با هوا پر شده است. معادلات کوپل حاکم بر میدان سیال و ارتعاش عرضی تیر در حضور میدان فشار سیال با بکارگیری روش عددی گلرکین جداسازی شده و حل عددی شده‌اند. هدف از حل معادلات بدست آوردن مقادیر فاکتور کیفیت برای این میکرورزوناتور است که یکی از پارامترهای مهم در طراحی سیاری از طرح های در ابعاد میکرو می باشد. اثر پارامترهای میکروپولار روی مقادیر فاکتور کیفیت بررسی شده و نشان داده شده است که بکارگیری تئوری میکروپولار مقادیر فاکتور کیفیت را کمتر از مقادیر پیش بینی شده در حالت کلاسیک پیش بینی می نماید. سپس اثر طول مشخصه میکروپولار روی مقادیر فاکتور کیفیت بررسی و نشان داده است که بکارگیری تئوری گرادیان کرنش جهت مدل کردن میکرو پیر مقدادر فاکتور کیفیت را بیشتر از مقادیر حالت کلاسیک پیش بینی می نماید که با بکارگیری همزمان هر دو تئوری بسته به میزان پارامترهای میکروپولار و همین طور طول مشخصه بی بعد تیر هر کدام از حالات فوق می تواند اتفاق بیفتد. در ادامه تأثیر نسبت طول به پهنه‌ای میکروپولار و همین طور ضخامت میکروپولار روی اختلاف اندازه فاکتور کیفیت در نتیجه بکارگیری تئوری های میکروپولار و گرادیان کرنش مورد بررسی قرار گرفت و نشان داده شد که در بیشتر می باشد. در انتها تأثیر عدد فشرده‌گی و فشار بی بعد بر این اختلاف بررسی شد و در اعداد فشرده‌گی و فشارهای بی بعد شده پایین اختلاف بیشتری مشاهده گردید.